

УДК 519.876.5

МОДЕЛИРОВАНИЕ СХЕМЫ РЕШЕНИЯ ТРЕХМЕРНОЙ ЗАДАЧИ ТЕОРИИ УПРУГОСТИ В СИСТЕМЕ MAPLE

© А.Г. Овский, В.А. Толок, 2008

Запорожский национальный университет

У роботі запропонований метод моделювання розв'язку тривимірної задачі теорії пружності методом початкових функцій в системі Maple. Розроблено формальний підхід побудови розв'язку задачі для вільно опертого тривимірного масиву. Для реалізації розв'язку в системі розроблений спеціальний препроцесор і бібліотека процедур.

В работе предложен метод моделирования решения трехмерной задачи теории упругости методом начальных функций в системе Maple. Разработан формальный подход построения решения задачи для свободно опертого трехмерного массива. Для реализации решения в системе, разработан специальный препроцессор и библиотека процедур.

The method of design in the system Maple of decision is in-process offered three-dimensional the task of theory of resiliency the initial functions. Are developed the special formal approach of construction of decision of task three-dimensional array. For realization of decision the special preprocessor and library of procedures is developed in the system.

СИСТЕМА MAPLE, ПРЕПРОЦЕССОР, ТРЕХМЕРНАЯ ЗАДАЧА, АБСОЛЮТНЫЕ ПОГРЕШНОСТИ, ТОНКИЕ ПЛАСТИНЫ

В настоящей работе показана возможность применения системы компьютерной алгебры Maple для математического моделирования решений трехмерных задач теории упругости. С помощью упрощающей символики В.З. Власова реализуется построение математической модели трехмерной задачи теории упругости. Предлагаемая работа является продолжением работы [5]. Результаты решения задачи об изгибе трехмерного массива сравниваются с классической теорией изгиба тонких пластин. Подробным образом в графической интерпретации выводятся абсолютные погрешности для решения по методу начальных функций в сравнении с классической теорией. Предлагаемая математическая модель может применяться также для анализа напряжено-деформированного состояния других тел.

Рассмотрим свободно защемленный по контуру основания трехмерный массив, находящийся под действием нагрузки постоянной интенсивности Q . Его размеры: длина (ось x) – S , ширина (по оси y) – R , толщина (ось z) – H . Вид массива, рис. 1.

Исходя из формулировки задачи для рассматриваемого метода [2], выбираем следующую систему координат см. рис. 1.

Выделим в теле две плоскости: начальную $z=0$ и параллельную ей $z=H$. Задаем на начальной плоскости функции $U_0, V_0, W_0, X_0, Y_0, Z_0$, которые зависят от переменных x, y [2]. Функции X_0, Y_0, Z_0 равны нулю, так как за начальную плоскость выбирается свободный

нижний край массива. На верхнюю плоскость массива действует в направлении, обратном оси z , равномерно распределенная нагрузка Q .

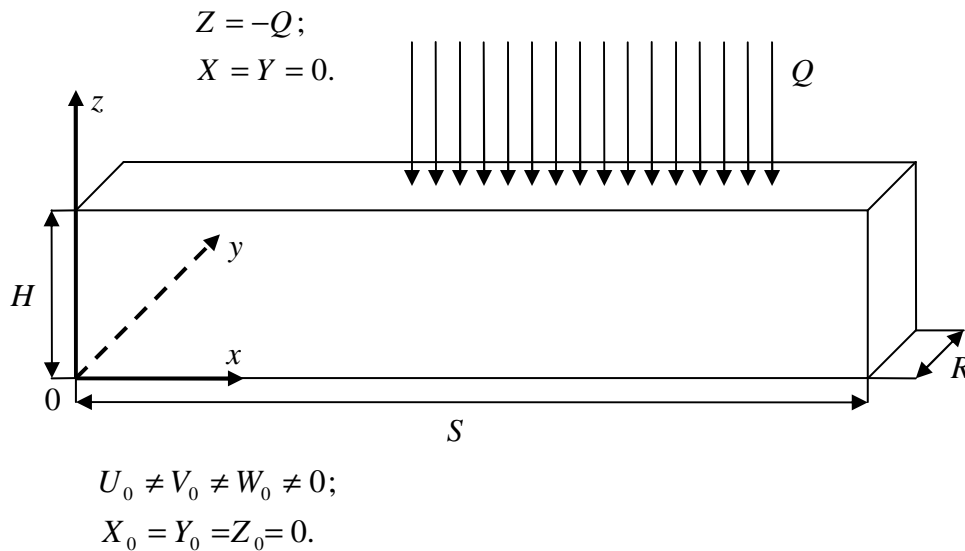


Рис. 1 - Описание задачи

Далее согласно работе [5] разрешается общая задача о равновесии твердого изотропного тела, испытывающего малые деформации в прямоугольной системе координат x, y, z . Используем результат этой работы для перемещений и напряжений.

Задаем начальные функции $U_0(x, y), V_0(x, y), W_0(x, y)$ в виде двойных тригонометрических рядов [8]:

$$\begin{aligned}
 U_0(x, y) &= \sum_{n=1}^{\infty} \sum_{m=1}^{\infty} A_{nm} \sin \frac{n\pi}{S} x \cos \frac{m\pi}{R} y, \\
 V_0(x, y) &= \sum_{n=1}^{\infty} \sum_{m=1}^{\infty} B_{nm} \cos \frac{n\pi}{S} x \sin \frac{m\pi}{R} y, \\
 W_0(x, y) &= \sum_{n=1}^{\infty} \sum_{m=1}^{\infty} C_{nm} \sin \frac{n\pi}{S} x \sin \frac{m\pi}{R} y.
 \end{aligned} \tag{1}$$

После подстановки (1) в решение трехмерной задачи [5] осуществляя переход к численным рядам для напряжений, получим:

$$\left. \begin{aligned}
 X &= \sum_{n=1}^{\infty} \sum_{m=1}^{\infty} \left(\left[\frac{z a_n^2 \operatorname{ch} \gamma_{nm} z}{\nu-1} + \frac{\gamma_{nm} \operatorname{sh} \gamma_{nm} z}{\nu-1} + \frac{\nu b_m^2}{\gamma_{nm}(\nu-1)} \right] A_{nm} \sin a_n x \cos b_m y - \right. \\
 &\quad \left. - \left[\frac{z a_n b_m \operatorname{ch} \gamma_{nm} z}{\nu-1} + \frac{\nu a_n b_m \operatorname{sh} \gamma_{nm} z}{\gamma_{nm}(\nu-1)} \right] B_{nm} \sin a_n x \cos b_m y - \frac{z a_n \gamma_{nm} \operatorname{sh} \gamma_{nm} z}{\nu-1} C_{nm} \cos a_n x \sin b_m y \right) \\
 \\
 Y &= \sum_{n=1}^{\infty} \sum_{m=1}^{\infty} \left(- \left[\frac{z a_n b_m \operatorname{ch} \gamma_{nm} z}{\nu-1} + \frac{\nu a_n b_m \operatorname{sh} \gamma_{nm} z}{(\nu-1) \gamma_{nm}} \right] A_{nm} \cos a_n x \sin b_m y + \right. \\
 &\quad + \left[\frac{z b_m^2 \operatorname{ch} \gamma_{nm} z}{\nu-1} + \frac{\nu a_n^2 \operatorname{sh} \gamma_{nm} z}{\gamma_{nm}(\nu-1)} + \frac{\gamma_{nm} \operatorname{sh} \gamma_{nm} z}{\nu-1} \right] B_{nm} \cos a_n x \sin b_m y - \\
 &\quad \left. - \frac{z b_m \gamma_{nm} \operatorname{sh} \gamma_{nm} z}{\nu-1} C_{nm} \sin a_n x \cos b_m y \right) \\
 \\
 Z &= \sum_{n=1}^{\infty} \sum_{m=1}^{\infty} \left(- \frac{z a_n \gamma_{nm} \operatorname{sh} \gamma_{nm} z}{\nu-1} A_{nm} \cos a_n x \cos b_m y - \frac{z b_m \gamma_{nm} \operatorname{sh} \gamma_{nm} z}{\nu-1} B_{nm} \cos a_n x \cos b_m y + \right. \\
 &\quad \left. + \left[\frac{\gamma_{nm} \operatorname{sh} \gamma_{nm} z}{\nu-1} - \frac{z \gamma_{nm}^2 \operatorname{ch} \gamma_{nm} z}{\nu-1} \right] C_{nm} \sin a_n x \sin b_m y \right)
 \end{aligned} \right\} \quad (2)$$

где $a_n = \frac{\pi n}{S}$, $b_m = \frac{\pi m}{R}$ - сокращенные обозначения;

A_{nm} , B_{nm} , C_{nm} - коэффициенты двойных рядов (1), подлежащие определению;

$\gamma_{nm} = \sqrt{a_n^2 + b_m^2}$ - упрощающее обозначение суммы квадратов коэффициентов.

Исходя из граничных условий, для поставленной задачи будем иметь три уравнения для напряжений, из которых выводятся коэффициенты A_{nm} , B_{nm} , C_{nm} . Составим их:

$$\left\{ \begin{aligned}
 X|_{z=H} &= 0, \\
 Y|_{z=H} &= 0, \\
 Z|_{z=H} &= -Q.
 \end{aligned} \right. \quad (3)$$

A_{nm}, B_{nm} равны нулю по условиям (3). Далее выполняем над Z из условий (3) процедуру Галеркина, используя свойство фундаментальности и ортогональности системы синусоидальных функций [3]. В результате для напряжения Z :

$$\left(\frac{\gamma_{nm} \operatorname{sh} \gamma_{nm} H}{\nu - 1} - \frac{H \gamma_{nm}^2 \operatorname{ch} \gamma_{nm} H}{\nu - 1} \right) \frac{S R}{4} C_{nm} = - \int_0^S \int_0^R Q \sin \frac{\pi l}{S} x \sin \frac{\pi p}{R} y \, dx dy, \quad (4)$$

где $a_l = \frac{\pi l}{S}, b_p = \frac{\pi p}{R}$ - сокращенные обозначения;

$\gamma_{nm} = \sqrt{a_n^2 + b_m^2}$ - упрощающее обозначение суммы квадратов коэффициентов.

Разрешив (4), находим коэффициент

$$C_{nm} = - \frac{4 Q (\cos m\pi - 1) (\cos n\pi - 1)}{m \pi^2 n S R} \cdot \frac{\nu - 1}{\gamma_{nm} \operatorname{sh} \gamma_{nm} H - H \gamma_{nm}^2 \operatorname{ch} \gamma_{nm} H}.$$

Подставив C_{nm} в формулы для прогибов U, V, W в результате перехода от операторно-символических рядов к численным получим:

$$\begin{aligned} U &= \sum_{n=1}^{\infty} \sum_{m=1}^{\infty} \frac{1}{2} \left(\frac{a_n z \operatorname{ch} \gamma_{nm} z}{(\nu - 1)} + \frac{a_n (1 - 2\nu) \operatorname{sh} \gamma_{nm} z}{(\nu - 1) \gamma_{nm}} \right) \times \\ &\times \left(- \frac{4 Q (\cos m\pi - 1) (\cos n\pi - 1)}{m \pi^2 n S R} \cdot \frac{\nu - 1}{\gamma_{nm} \operatorname{sh} \gamma_{nm} H - H \gamma_{nm}^2 \operatorname{ch} \gamma_{nm} H} \right) \cos a_n x \sin b_m y, \\ V &= \sum_{n=1}^{\infty} \sum_{m=1}^{\infty} \frac{1}{2} \left(\frac{b_m z \operatorname{ch} \gamma_{nm} z}{(\nu - 1)} + \frac{b_m (1 - 2\nu) \operatorname{sh} \gamma_{nm} z}{(\nu - 1) \gamma_{nm}} \right) \times \\ &\times \left(- \frac{4 Q (\cos m\pi - 1) (\cos n\pi - 1)}{m \pi^2 n S R} \cdot \frac{\nu - 1}{\gamma_{nm} \operatorname{sh} \gamma_{nm} H - H \gamma_{nm}^2 \operatorname{ch} \gamma_{nm} H} \right) \sin a_n x \cos b_m y, \\ W &= \sum_{n=1}^{\infty} \sum_{m=1}^{\infty} \left(\operatorname{ch} \gamma_{nm} z - \frac{z \gamma_{nm} \operatorname{sh} \gamma_{nm} z}{2(\nu - 1)} \right) \times \\ &\times \left(- \frac{4 Q (\cos m\pi - 1) (\cos n\pi - 1)}{m \pi^2 n S R} \cdot \frac{\nu - 1}{\gamma_{nm} \operatorname{sh} \gamma_{nm} H - H \gamma_{nm}^2 \operatorname{ch} \gamma_{nm} H} \right) \sin a_n x \sin b_m y. \end{aligned} \quad (5)$$

Выписываем формулы для напряжений [2] и подставляем в них коэффициент C_{nm} :

$$\begin{aligned}
 \sigma_x &= \sum_{n=1}^{\infty} \sum_{m=1}^{\infty} \left(-\frac{z a_n^2 \operatorname{ch} \gamma_{nm} z}{\nu - 1} - \frac{(2 b_m^2 \nu + a_n^2) \operatorname{sh} \gamma_{nm} z}{(\nu - 1) \gamma_{nm}} \right) \sin a_n x \sin b_m y, \\
 \sigma_y &= \sum_{n=1}^{\infty} \sum_{m=1}^{\infty} \left(-\frac{z b_m^2 \operatorname{ch} \gamma_{nm} z}{\nu - 1} - \frac{(2 a_n^2 \nu + b_m^2) \operatorname{sh} \gamma_{nm} z}{(\nu - 1) \gamma_{nm}} \right) \sin a_n x \sin b_m y, \\
 \tau_{xy} &= \sum_{n=1}^{\infty} \sum_{m=1}^{\infty} \frac{1}{2} \left(\frac{a_n z \operatorname{ch} \gamma_{nm} z}{(\nu - 1)} + \frac{a_n (1 - 2\nu) \operatorname{sh} \gamma_{nm} z}{(\nu - 1) \gamma_{nm}} \right) b_m \times \\
 &\quad \times \left(-\frac{4Q (\cos m\pi - 1) (\cos n\pi - 1)}{m \pi^2 n S R} \cdot \frac{\nu - 1}{\gamma_{nm} \operatorname{sh} \gamma_{nm} H - H \gamma_{nm}^2 \operatorname{ch} \gamma_{nm} H} \right) \cos a_n x \cos b_m y + \\
 &\quad + \frac{1}{2} \left(\frac{b_m z \operatorname{ch} \gamma_{nm} z}{(\nu - 1)} + \frac{b_m (1 - 2\nu) \operatorname{sh} \gamma_{nm} z}{(\nu - 1) \gamma_{nm}} \right) a_n \times \\
 &\quad \times \left(-\frac{4Q (\cos m\pi - 1) (\cos n\pi - 1)}{m \pi^2 n S R} \cdot \frac{\nu - 1}{\gamma_{nm} \operatorname{sh} \gamma_{nm} H - H \gamma_{nm}^2 \operatorname{ch} \gamma_{nm} H} \right) \cos a_n x \cos b_m y.
 \end{aligned} \tag{6}$$

Для нахождения u , v , w необходимо U , V , W разделить на модуль сдвига $G = \frac{E}{2(1+\nu)}$ [1].

Выведем классическое решение для свободно опертой пластины. С ним будет сопоставляться предложенный метод.

Классическое решение получается из (5) и (6) путем замены численных $\operatorname{ch} \gamma_{nm} z$, $\operatorname{sh} \gamma_{nm} z$ на соответствующие им разложения Маклорена.

Задавая количество членов в разложениях, будем получать приближения точной теории. Взяв один член в разложении, получим классическую теорию пластин с учетом толщины H . Для прогиба W найдем:

$$\begin{aligned}
 W &= \sum_{n=1}^{\infty} \sum_{m=1}^{\infty} \frac{-4Q (\cos m\pi - 1) (\cos n\pi - 1) (\nu - 1)}{\pi^2 n m S R \left(\gamma_{nm}^2 H + \frac{\gamma_{nm}^4 H^3}{6} - \gamma_{nm}^2 H - \frac{\gamma_{nm}^4 H^3}{2} \right)} \times \\
 &\quad \times \left(\operatorname{ch} \gamma_{nm} z - \frac{z \gamma_{nm} \operatorname{sh} \gamma_{nm} z}{2(\nu - 1)} \right) \sin a_n x \sin b_m y = \\
 &= \sum_{n=1}^{\infty} \sum_{m=1}^{\infty} \frac{12Q (\cos m\pi - 1) (\cos n\pi - 1) (\nu - 1)}{\pi^2 n m \gamma_{nm}^4 H^3 S R} \left(\operatorname{ch} \gamma_{nm} z - \frac{z \gamma_{nm} \operatorname{sh} \gamma_{nm} z}{2(\nu - 1)} \right) \sin a_n x \sin b_m y.
 \end{aligned} \tag{7}$$

Разность гиперболических косинуса и синуса в числителе тоже необходимо разложить по предложенному способу, но перед разложением необходимо выделить в знаменателе коэффициент классической теории D [9]. Для этого результат W нужно разделить на коэффициент сдвига G . Результат имеет следующий вид:

$$\begin{aligned}
 w &= \sum_{n=1}^{\infty} \sum_{m=1}^{\infty} \frac{12Q (\cos m\pi - 1)(\cos n\pi - 1)(\nu - 1)}{\pi^2 nm \gamma_{nm}^4 H^3 SRG} \left(ch \gamma_{nm} z - \frac{z \gamma_{nm} sh \gamma_{nm} z}{2(\nu - 1)} \right) \sin a_n x \sin b_m y = \\
 &= - \sum_{n=1}^{\infty} \sum_{m=1}^{\infty} \frac{24Q (\cos m\pi - 1)(\cos n\pi - 1)(1 - \nu^2)}{\pi^2 nm \gamma_{nm}^4 H^3 E SR} \left(ch \gamma_{nm} z - \frac{z \gamma_{nm} sh \gamma_{nm} z}{2(\nu - 1)} \right) \sin a_n x \sin b_m y = \quad (8) \\
 &= - \sum_{n=1}^{\infty} \sum_{m=1}^{\infty} \frac{8Q (\cos m\pi - 1)(\cos n\pi - 1)}{\pi^2 nm \gamma_{nm}^4 D SR} \left(ch \gamma_{nm} z - \frac{z \gamma_{nm} sh \gamma_{nm} z}{2(\nu - 1)} \right) \sin a_n x \sin b_m y.
 \end{aligned}$$

Здесь $D = \frac{EH^3}{3(1-\nu^2)}$ - поскольку задача ставится при z , которое меняется от 0 до H .

Теперь, задав один член в разложениях $ch \gamma_{nm} z$, $sh \gamma_{nm} z$ по Маклорену в числителе, получим обычную классическую теорию пластин [6]:

$$w = - \sum_{n=1}^{\infty} \sum_{m=1}^{\infty} \frac{8Q (\cos m\pi - 1)(\cos n\pi - 1)}{\pi^2 nm \gamma_{nm}^4 D SR} \sin a_n x \sin b_m y. \quad (9)$$

Все вышеизложенные выкладки автоматизированы и запрограммированы в Maple. Их осуществляет созданный авторами препроцессор. ЭВМ работает лишь с дискретным набором данных, бесконечные ряды численных решений (5), (6), (8) приходится ограничивать до определенного числа [7]. Таким образом, чтобы дать графическую интерпретацию выведенного решения, было взято по двадцать членов в двойных суммах рядов. Разработанная программа показывает разницу между точной и приближенной теориями в зависимости от безразмерного параметра H/R .

В процессе моделирования рассматриваемой выше задачи для заданных числовых характеристик безразмерного параметра длины $S/R=5/2$, безразмерного параметра ширины $r=1$, толщины $H/R=0,5/2=0,25$, были получены результаты в точках максимального различия между теориями. Эти результаты для перемещений u , w и напряжений σ_x , σ_y и соответствующих напряжениям моментов сравнивались с приближенными теориями. При росте безразмерного параметра толщины существенно влияют на величины перемещений и напряжений, неучтенные в классической теории члены высших порядков в разложениях Маклорена.

Всё это демонстрируют графики абсолютных погрешностей приближенных ($k=1,2,3,4,5$) теорий в сравнении с точной теорией в зависимости от параметра h/R . Для

перемещения U в точке $0, R/2$ и $0,5 H/R$ и прогиба W в точке $S/2, R/2$ и $0,5 H/R$, параметр h/R меняется от $0,0001$ до $0,5$. В данных точках разность между значениями перемещений для точной и классической теорий максимальна, рис. 2.

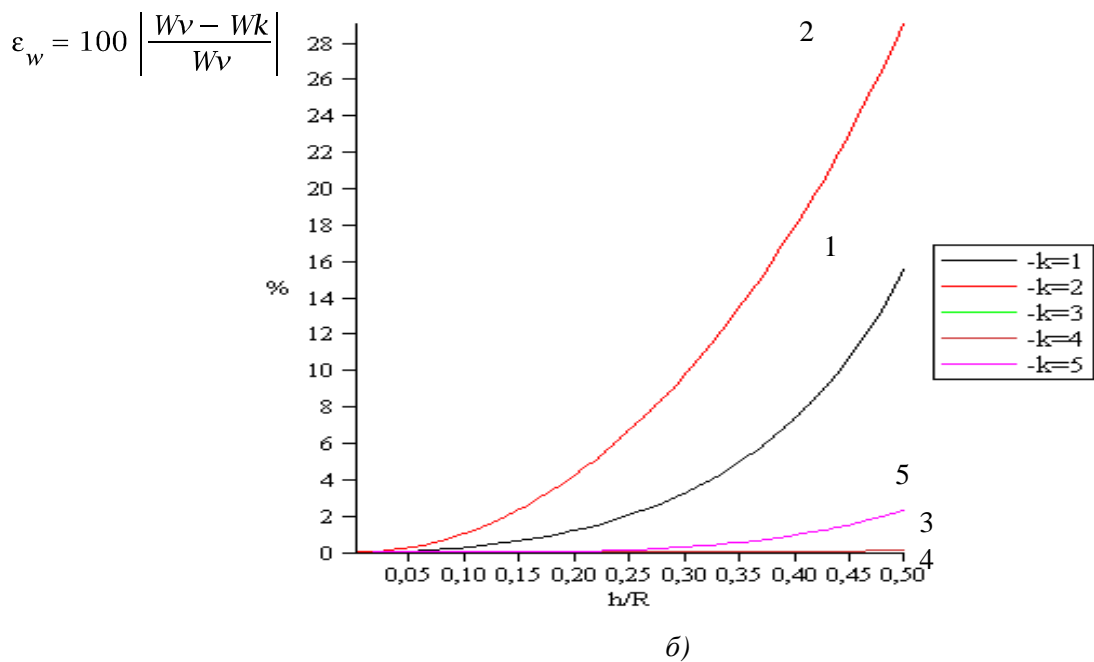
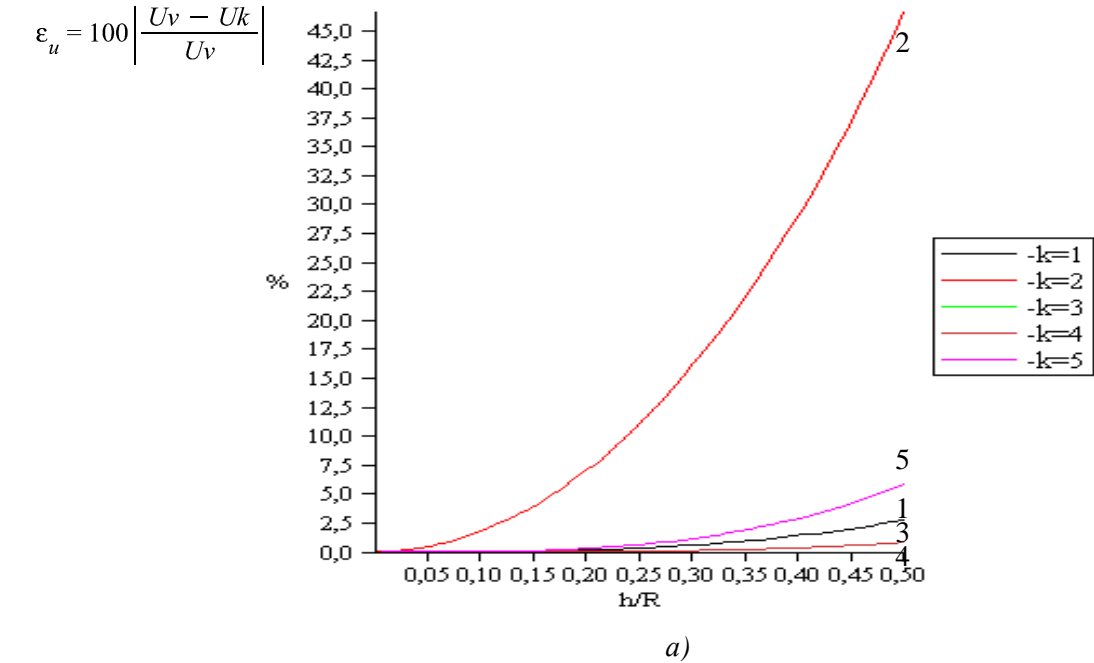


Рис. 2 - Абсолютные погрешности для: а) перемещения u ; б) прогиба w в %:
индекс v – точная теория; индекс k – приближения (при $k=1$ – классика)

Для напряжения Z в точке $0, R/2$ и $0,5 H/R$ на рис. 3 показаны абсолютные погрешности в зависимости от параметра толщины.

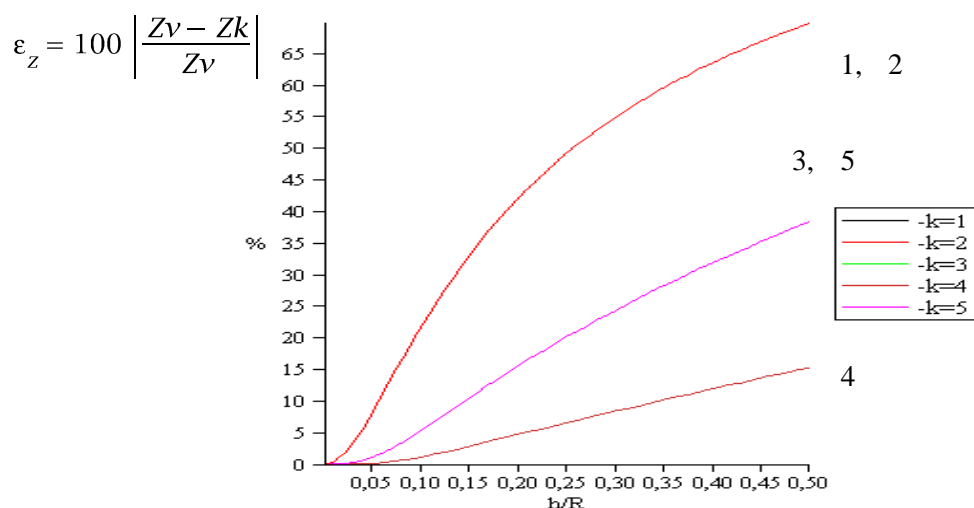


Рис. 3 - Абсолютные погрешности для Z в %:
индекс v – точная теория; индекс k – приближения (при $k = 1$ – классика)

Графики для абсолютных погрешностей напряжения Z в % при $k=1$ и $k=2$, $k=3$ и $k=5$ совпадают.

Аналогичным образом анализируются моменты M_x и M_y . M_x в точке $S/5$, $R/2$ и $0,5 H$, M_y – точка $S/2$, $R/2$ и $0,5 H$. Графики изображены на рис. 4.

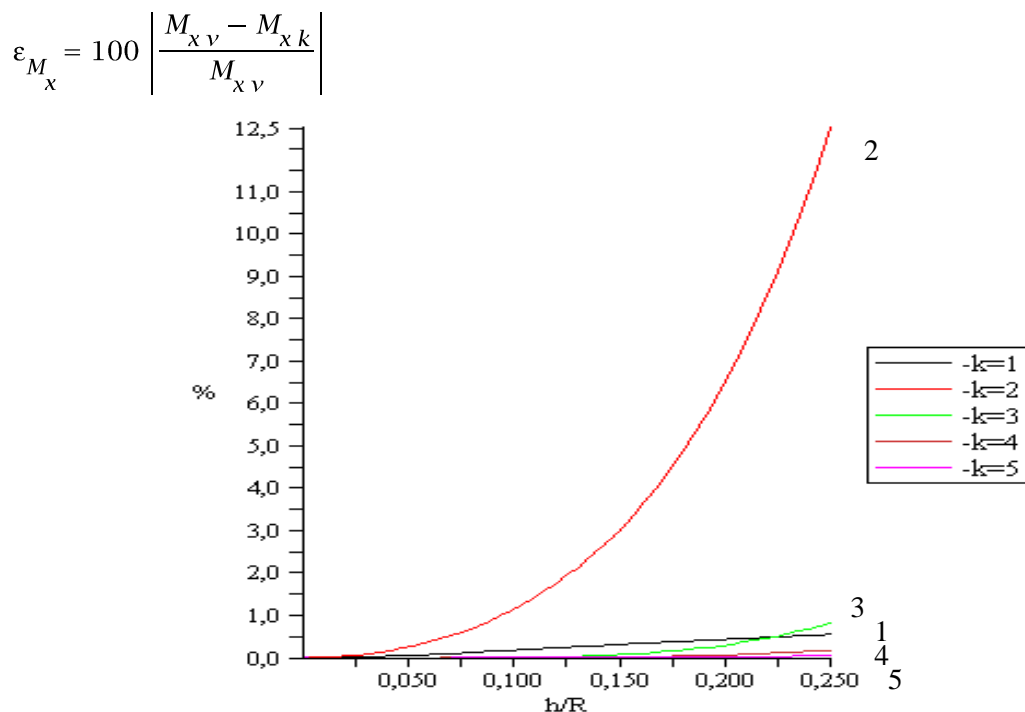


Рис. 4 а) - Абсолютные погрешности для момента M_x в %
(индекс v – точная теория; индекс k – приближения)

$$\varepsilon_{M_y} = 100 \left| \frac{M_{y v} - M_{y k}}{M_{y v}} \right|$$

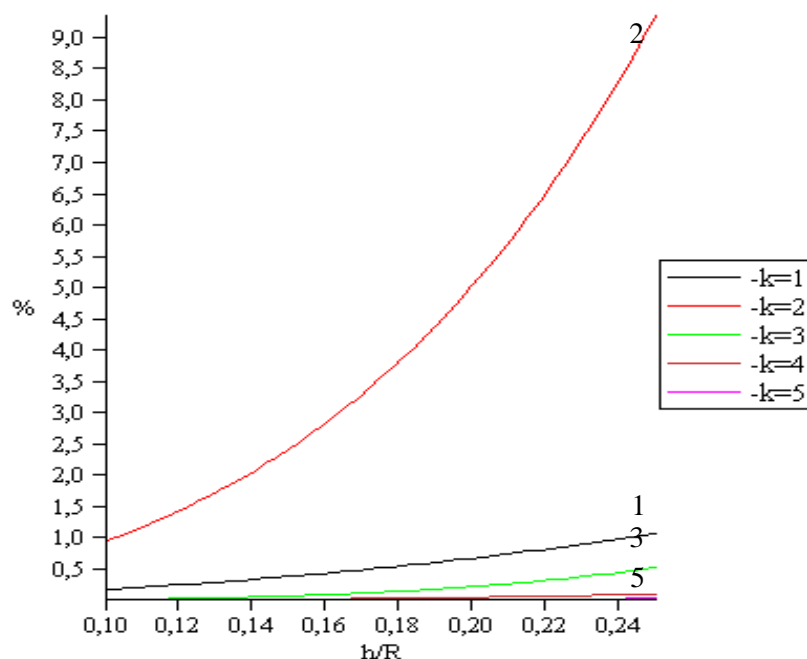


Рис. 4 б) - Абсолютные погрешности для момента M_y в %
(индекс v – точная теория; индекс k – приближения)

На графиках были предоставлены результаты сравнения классической и точной теорий. Все результаты получены в разработанной программе благодаря использованию графических средств системы Maple.

В работе был предложен метод решения трехмерной задачи. Все результаты были проверены и сопоставлены с классическим решением.

Рассмотренный выше метод можно применять для решения более сложных задач, где анализируется напряженно-деформированное состояние тел, путем введения в разработку новых методик. Путем усложнения граничных и начальных условий можно ставить и решать более сложные задачи для пластин, плит и т.д.

Весь процесс моделирования был реализован в Maple – новой системе программирования аналитических операций. Создав препроцессор и библиотеку, авторы смогли приспособить систему для решения сложных аналитических проблем, возникающих при решении поставленной задачи.

Литература

1. Амензаде Ю.А. Теория упругости (3-е издание). - М.: Высшая школа, 1976. – 272 с.

2. Власов В.З., Леонтьев Н.Н. Балки плиты и оболочки на упругом основании. – М.: ФИЗМАТГИЗ, 1960. – 491 с.
3. Горшков А.Г., Старовойтов Э.И., Талаковский Д.В. Теория упругости и пластичности. – М.: ФИЗМАТЛИТ, 2002. – с.
4. Дьяконов В.П. Maple 9.5/10 в математике, физике и образовании. – М.: СОЛОН-Пресс, 2006. – 720 с.: ил.
5. Толлок В.А., Шапар В.В. Операторно-символьные ряды Власова В.З. в решении задач теории упругости в системе Maple // Гідроакустичний журнал. – 2006. - № 3. – с. 66-74.
6. Тимошенко С.П., Гудьер Дж. Теория упругости. - М.: Наука, 1975. – 508 с.
7. Матросов А.В. Maple6. Решение задач высшей математики и механики. – СПб.: БХВ-Петербург, 2002. – 528 с.: ил.
8. Лурье А.И. Теория упругости. - М.: Наука, 1970. – 933 с.
9. Треффц Е. Математическая теория упругости. - Л.-М.: Гос. тех.-теор. издат., 1934. – 166 с.